

©1994 г.

## ОГРАНИЧЕННЫЙ ПРОСТРАНСТВЕННЫМ ЗАРЯДОМ БАЛЛИСТИЧЕСКИЙ ТРАНСПОРТ ЭЛЕКТРОНОВ СО СЛОЖНЫМИ ЗАКОНАМИ ДИСПЕРСИИ

З.С.Грибников

Институт физики полупроводников Академии наук Украины, 252650, Киев,  
Украина

(Получена 6 декабря 1993 г. Принята к печати 15 декабря 1993 г.)

Рассмотрен баллистический электронный ток, ограниченный пространственным зарядом инжектированных катодом электронов в диоде с легированной базой в режиме, когда часть базы квазинейтральна за счет квазиравновесных электронов, приходящих из анода и туда же возвращающихся. В случае сложных законов дисперсии этих электронов  $\epsilon(k)$ , включающих участки отрицательных эффективных масс, появляются падающие ветви зависимостей тока от напряжения, причем стационарные решения задачи в заданном классе решений могут быть получены только на восходящих ветвях характеристик (но отсутствуют на падающих).

Обсуждены возможности реализации рассматриваемых сложных законов  $\epsilon(k)$  с помощью сверхрешеток одиночных или двойных квантовых ям, составленных из материалов с сильно различающимися эффективными массами.

### Введение

Цель данной статьи — рассмотреть баллистический транспорт электронов в тонкобазовых  $n^+ - n - n^+$ -диодах в случае ограничения тока пространственным зарядом. Отличительная особенность этого рассмотрения состоит в предположении сложного закона дисперсии энергии электронов  $\epsilon(k)$ , где  $k$  — волновой вектор. Этот закон предполагается существенно отличным от  $\epsilon(k) = n^2 k^2 / 2m$ , где  $m$  — эффективная масса; указанное отличие приводит к иным конфигурациям пространственного заряда и иным зависимостям тока от напряжения. Нам известна только одна попытка подобного рассмотрения [1]. Однако в этой работе рассмотрен единственный тип спектра  $\epsilon(k)$ , а именно непарabolическая зависимость:

$$\epsilon(k) = -\frac{\epsilon_g}{2} + \frac{\epsilon_g}{2} \left( 1 + \frac{2\hbar^2 k^2}{m\epsilon_g} \right)^{1/2}, \quad (1)$$

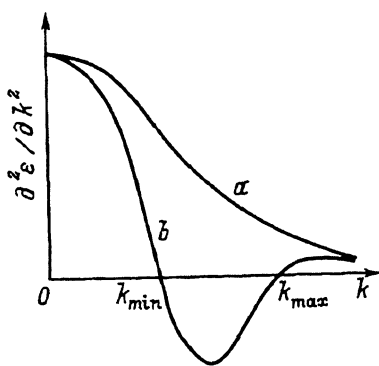


Рис. 1. Зависимости обратной эффективной массы от  $k$  для спектра типа (1) (a) и в случае интервала с ОЭМ (b).

где  $\varepsilon_g$  — ширина запрещенной зоны. Кроме того, в работе [1] использовано «однопотоковое» приближение при описании распределения электронов в  $k$ -пространстве, т.е. соотношение между электронным потоком  $j$  и полной концентрацией электронов в точке  $n$  принято в виде

$$j = v n, \quad (2)$$

где  $v$  — групповая скорость электронов в той же точке. Такое приближение широко распространено в работах, посвященных баллистическому транспорту в  $n^+ - n - n^+$ -структурных ямах (см., например, раздел 2.9 в работе [2]). В данной работе рассмотрены зависимости  $\varepsilon(k)$ , существенно отличные от (1). В частности, особенное внимание уделяется зависимостям, в которых переход от легких масс при малых  $k$  к тяжелым массам при больших  $k$  осуществляется через некий интервал ( $k_{\min}, k_{\max}$ ) с отрицательными эффективными массами (ОЭМ), т.е. существенно более резко, чем это предусмотрено формулой (1) (рис. 1). Такие зависимости, например, характерны для гетероструктурных квантовых ям, построенных из материалов с существенно различными эффективными массами электронов в яме и в окружающих ее барьерах. Этот факт вытекает, в частности, из формул раздела 2 работы [3]. Естественно, что такие зависимости определяются параметрами конкретной гетероструктуры и в отличие от (1), не связаны непосредственным образом с шириной щели  $\varepsilon_g$ . Далее, в разделе 2, мы еще вернемся к вопросу о формировании  $\varepsilon(k)$  в разнородных по массе гетероструктурах. А в разделе 1 будет показано, что зависимости  $\varepsilon(k)$  с участками ОЭМ могут приводить к падающим ветвям  $N$ -типа на вольтамперных характеристиках (ВАХ)  $n^+ - n - n^+$ -диодов. Эти  $N$ -образные ВАХ с отрицательной дифференциальной проводимостью (ОДП) не связаны ни с какими механизмами рассеяния или релаксации и зависят лишь от динамических параметров электронов в структуре. Раздел 2 также посвящен обсуждению приближений и критериев их законности.

### 1. ВАХ с участками $N$ -ОДП для модельных баллистических структур

Рассмотрим  $n^+ - n - n^+$ -диодную структуру с поданным на нее напряжением  $V$ . Как известно, при подаче напряжения на симметричную структуру экстремум потенциальной энергии электрона смещается к катоду, образуя виртуальный катод ( $x = x_c$ ) недалеко от

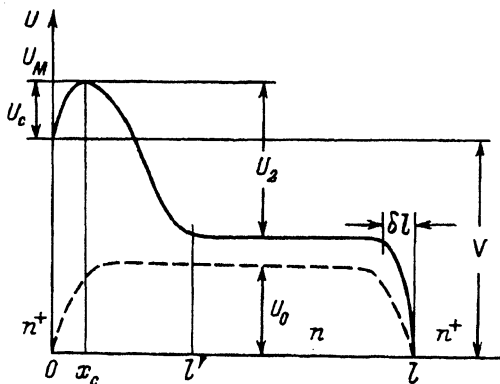


Рис. 2. Распределение потенциала в  $n^+ - n - n^+$ -диоде без внешнего напряжения (штриховая линия) и с внешним напряжением  $V$  (сплошная). Для простоты потенциалы катода и анода зафиксированы в точках  $x = 0$  и  $x = l$  соответственно (а не в бесконечно удаленных точках.)

$n^+ - n$ -границы (рис. 2). Напряжение  $V$  приближенно слагается из трех частей —  $U_1 = U_0 - U_c$ ,  $U_2$  и  $U_3 = U_a - U_0$ , где  $U_a$  — потенциал анода. При этом предполагается, что напряжение  $V + U_1 + U_2 + U_3$  достаточно мало и в диоде сохраняется конечная квазинейтральная область  $l' < x < l - \delta l$ , в которой концентрация электронов  $n$  приблизительно равна концентрации доноров  $n_0$ . Потенциальная энергия  $eU_M$ , где  $U_M = V + U_c = U_a + U_2$ , делит шкалу энергий на две области. Электроны с энергиями  $\varepsilon < eU_M$  разделены потенциальным барьером на два квазиравновесных газа. При  $x < x_c$  электроны, приходящие из катода, отражаются от барьера и уходят обратно в катод. Равновесность этого газа поддерживается релаксационными процессами в глубине катода. При  $x > x_c$  электроны, приходящие из  $n^+$ -анода, уходят обратно после отражения справа от того же барьера. Равновесность газа справа обеспечивается релаксационными процессами в глубине  $n^+$ -анода. Нарушение равновесности связано лишь с неидеальностью баллистического транспорта электронов в  $n$ -базе, создающей малый поток электронов через энергетическую границу  $\varepsilon = eU_M$ . Среди электронов с энергией  $\varepsilon > eU_M$  имеется компонента, пролетающая от катода к аноду, а также обратная компонента, меньшая первой при  $V > 0$ , пролетающая от анода к катоду. В случае квазиклассически плавного хода потенциала оценочные формулы для концентраций квазиравновесных электронов (в случае невырожденного электронного газа) имеют вид

$$n^{(-)}(x) = n_0 \exp(-\Psi'), \quad n^{(+)}(x) = n_0 \exp(-\Psi), \quad (3)$$

где  $n^{(-)}(x)$  — концентрация при  $x < x_c$ ,  $n^{(+)}(x)$  — концентрация при  $x > x_c$ ,  $\Psi' = e(U - U_0 - V)/kT$ ,  $\Psi = e(U - U_0)/kT$ ; здесь  $kT$  — тепловая энергия, отсчет потенциала  $U$  производится от потенциала анода (рис. 2). К концентрациям  $n^{(-)}(x)$  и  $n^{(+)}(x)$  следует добавить концентрацию пролетающих электронов  $n'(x)$ , которую в том же квазиклассическом приближении и при условии  $eV \gg kT$  можно записать в виде

$$n'(x) = (j^{(+)} + j^{(-)}) / v(x), \quad (4)$$

где  $j^{(+)}$  — поток электронов, летящих от катода к аноду,  $j^{(-)}$  — поток электронов, летящих в обратную сторону, взятый также со знаком

«+», так что полный поток электронов равен

$$j = j^{(+)} - j^{(-)}. \quad (5)$$

Вообще говоря, поток  $j^{(-)}$  образован не только вылетающими из анода электронами, но и катодными электронами, отраженными от границы с анодом  $x = l$ . Аналогичное утверждение относится и к потоку  $j^{(+)}$ . Представим себе, например, существование тонкого туннельно-проницаемого барьера, расположенного в окрестности границы  $x = l$ . Его существование (при условии практического отсутствия падения напряжения на нем:  $\delta U = 0$ ) никак не сказывается на распределении потенциала, равно как и на распределении квазиравновесных электронов (3). Однако оно может заметно сказаться на распределении пролетающих электронов. Если проницаемость барьера составляет  $\sim 10^{-1}$ , т.е. весьма велика, то коэффициент отражения весьма близок к 1 и большинство электронов отразится, удвоив электронный заряд согласно формуле (4). При коэффициенте отражения  $R$  имеем  $j^{(+)} = j(1 - R)$  и

$$n'(x) = \frac{j}{v(x)} \cdot \frac{1 + R}{1 - R}. \quad (6)$$

В последующем рассмотрении предполагается отсутствие граничного отражения, т.е.  $R = 0$ .

Вычислим падение напряжения  $U_2$  на слое  $(x_c, l')$ , разделяющем область нейтральности при  $x > l'$  и виртуальный катод  $x = x_c$ . Из уравнения Пуассона (при  $eU_2 \ll kT$ ) для электрического поля  $E$

$$\kappa_d \frac{dE}{dx} \simeq e[n_0 n'(x)], \quad (7)$$

где  $\kappa_d$  — диэлектрическая проницаемость, и классического транспортного уравнения

$$v(x) \frac{dp}{dx} = eE, \quad (8)$$

где  $p = \hbar k$ , следует

$$n_0 \epsilon(p_M) = j p_M, \quad (9)$$

где  $p_M$  — средний импульс пролетающих электронов в точке  $x = l'$ , в которой, как и на виртуальном катоде, поле равно 0:

$$E(x_c) = E(l') = 0. \quad (10)$$

Добавляя к (9) условие

$$\epsilon(p_M) = eU_2, \quad (11)$$

непосредственно следующее (при  $kT \ll eU_2$ ) из (8), получаем зависимость  $j = j(U_2)$  в параметрической форме. Отметим, что эта зависимость близка к статической ВАХ  $n^+ - n - n^+$ -диода лишь при  $U_2 \gg U_1, U_3$ . Впоследствии мы увидим, что это условие выполняется не всегда. Из (9) и (11) следует

$$p_M = e n_0 U_2 / j, \quad (12)$$

что дает возможность записать ВАХ<sup>1</sup> в явной форме:

$$\varepsilon(e n_0 U_2 / j) = e U_2. \quad (13)$$

Из формул (9), (10) или из формулы (13) следует, что зависимость  $j = j(U_2)$  определяется лишь законом дисперсии при  $p = p_M$ , т.е. в квазинейтральной области, и не является функционалом этого закона при  $p < p_M$ .

Концентрация пролетающих электронов в квазинейтральной области

$$n'(l') = j / [\partial \varepsilon(p_M) / \partial p_M] \quad (14)$$

не превышает  $n_0$ , однако отнюдь не равна этой величине. В частности, при  $\varepsilon = p^2/2m$  имеем из (13) известную зависимость

$$j = n_0 (e U_2 / 2m)^{1/2}; \quad (15)$$

при этом  $p_M = (2meU_2)^{1/2}$  и

$$n'(l') = n_0 / 2, \quad (16)$$

т.е. в квазинейтральной области  $(l', l - \delta l)$  концентрация пролетающих электронов в точности составляет половину полной электронной концентрации. Вторая половина приходится на квазиравновесные электроны, чья концентрация регулируется автоподстройкой напряжения  $U_3$ . В конкретном случае с учетом (16) имеем  $U_3 = kT \ln 2$ .

В случае зависимости (1) при увеличении  $eU_2$  концентрация  $n'(l')$  возрастает от  $n_0/2$  (при  $eU_2 \ll \varepsilon_g$ ) до  $n_0$  (при  $eU_2 \gg \varepsilon_g$ ). При этом возрастании наряду со скоростью электронов насыщается также и плотность тока  $j$ . Увеличение  $n'(l')$  до  $n_0$  означает уменьшение квазиравновесной концентрации почти до 0, т.е. существенный рост напряжения  $U_3$ . Таким образом, насыщенная зависимость  $j$  от полного напряжения  $V$  подчеркивается ростом напряжения  $U_3$  на анодном  $n-n^+$ -переходе. Учет существования двух групп электронов с двумя различными средними скоростями: во-первых, высокоскоростных пролетающих электронов из катода и во-вторых, мало скоростных квазиравновесных, связанных с анодом, — существенная альтернатива однопотоковому подходу [2]. Этот двухпотоковый подход, в частности, применен в работах группы В.И. Рыжия (см. обзор [4]).

Условие наличия максимального тока  $j_M = j(U_{2M})$ , необходимого при  $N$ -образной ВАХ, имеет вид

$$\frac{d \ln \varepsilon(p_M)}{d \ln p_M} < 1. \quad (17)$$

Нетрудно убедиться, что в случае спектра типа (1) это условие невыполнимо. При более общем степенном законе дисперсии

$$\varepsilon(p) \sim p^\nu \quad (18)$$

<sup>1</sup> Здесь и далее в тексте под величиной  $j$  понимается либо электронный поток (2), либо плотность тока.

условие (17) было бы выполнено при  $\nu < 1$ , т.е. в случае отрицательной эффективной массы носителей.

Далее остановимся более подробно на модельном законе дисперсии

$$\varepsilon(p) = \frac{1}{2} \left\{ \varepsilon_1(p) + \varepsilon_2(p) - \left[ (\varepsilon_1(p) - \varepsilon_2(p))^2 + 4\delta^2(p) \right]^{1/2} \right\}, \quad (19)$$

где  $\varepsilon_1(p) = p^2/2m$ ,  $\varepsilon_2(p) = \varepsilon_0 + p^2/2M$ , причем  $\varepsilon_0 > 0$ ,  $M > m$ . Из (19) для случая  $\delta(p) = \delta(p_c) = \text{const}$ , где  $p_c$  определяется условием

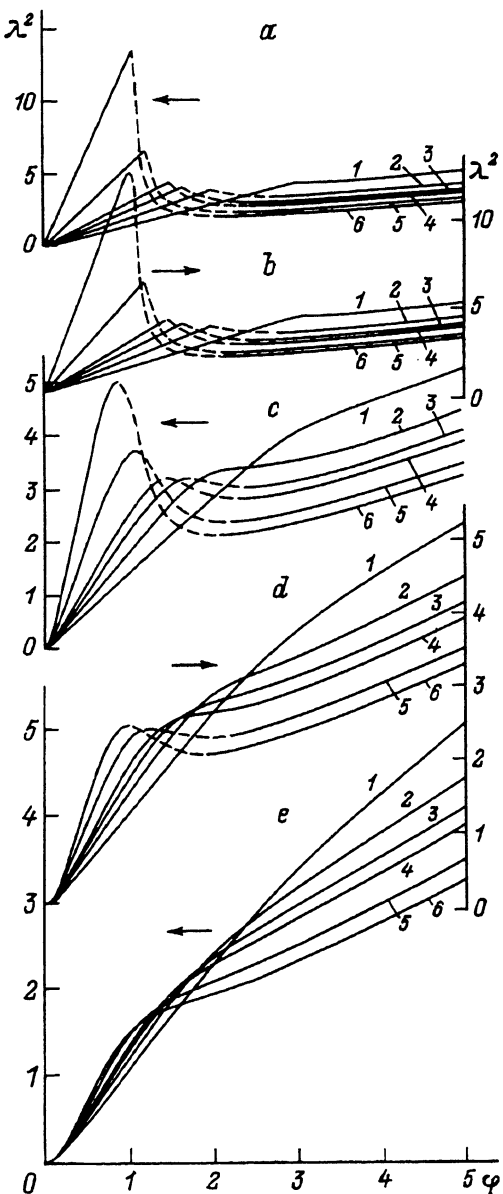


Рис. 3. Зависимости  $\lambda^2$  от  $\varphi$  для  $\delta$ :  
 $a = 0$ ,  $b = 10^{-2}$ ,  $c = 10^{-1}$ ,  $d = 1/5$ ,  
 $e = 1/3$ ;  $\kappa$ : 1 —  $1/3$ , 2 —  $1/2$ , 3 —  $3/5$ , 4 —  $2/3$ , 5 —  $9/11$ , 6 —  $12/13$ .

$\varepsilon_1(p_c) = \varepsilon_2(p_c)$ , следует зависимость  $j = j(U_2)$  в виде

$$(j/n_0)^2 = e^2 U_2^2 / \left\{ \left[ 4mM\delta^2 + (M\varepsilon_0 - eU_2(M-m))^2 \right]^{1/2} - M\varepsilon_0 + eU_2(M+m) \right\} \quad (20)$$

или

$$\lambda^2 = \varphi^2 / \left\{ [4\Delta^2 + (1-\varphi\kappa)^2]^{1/2} - 1 + \varphi \right\}, \quad (21)$$

где  $\lambda = j(M+m)/n_0(Mm)^{1/2}$ ,  $\varphi = eU_2(M+m)/m\varepsilon_0$ ;  $\Delta^2 = (m/M)(\delta/\varepsilon_0)^2$ ,  $\kappa = (M-m)/(M+m)$ . На рис. 3 построены зависимости  $\lambda^2$  от  $\varphi$  согласно формуле (21) для нескольких значений  $\Delta$  и  $\kappa$ . Видно, что для достаточно малых значений  $\Delta$  ( $< 1/5$ ) и  $m/M$  ( $< 1/3$ ) эти зависимости содержат падающие участки, соответствующие отрицательной дифференциальной проводимости ( $N$ -ОДП). Эти участки показаны прерывистыми линиями и в отличие от участков с положительным наклоном являются нереализуемыми, поскольку концентрация пролетающих электронов  $n'(l')$  в квазинейтральной области для этих участков превышает  $n_0$ , что бессмысленно. Проследим более внимательно за этой подробностью в простейшем случае, получающемся из (19) при  $\delta = 0$  (см. рис. 4), когда  $\varepsilon(p) = \varepsilon_1(p)$  при  $p^2 < p_c^2 = 2\varepsilon_0 m M / (M-m)$ ,  $\varepsilon(p) = \varepsilon_2(p)$  при  $p^2 > p_c^2$ . При этом  $eU_c = \varepsilon_0 / (1 - m/M)$ , для  $U_2 < U_c$  выполняется (15), а для  $U_2 > U_c$

$$j = en_0 U_2 / \left[ 2M(eU_2 - \varepsilon_0) \right]^{1/2}. \quad (22)$$

Если  $m < M/2$ , то при  $U_2 = U_c$  достигается пиковое значение тока

$$j_p = n_0 \left( \varepsilon_0 / 2m(1 - m/M) \right)^{1/2}, \quad (23)$$

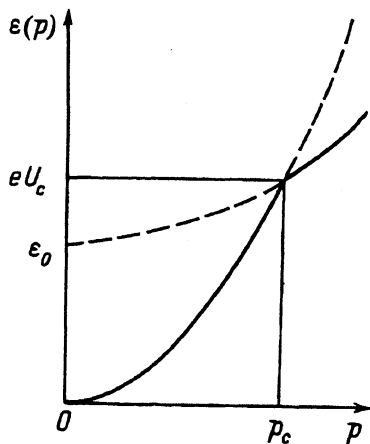


Рис. 4. Модельный пример зависимости  $\varepsilon(p)$ .

а при  $eU_2 = 2\varepsilon_0$  достигается максимальное значение

$$j_v = 2n_0(\varepsilon_0/2M)^{1/2}.$$

Отношение «пик/долина» равно  $\xi = j_p/j_v = 1/2(m/M)^{1/2}(1-m/M)^{1/2}$  и велико лишь в случае большого отношения  $M/m \gg 2$ . (Например, при  $M/m = 10$  имеем  $\xi \simeq 1.67$ , при  $M/m = 100$  уже  $\xi \simeq 5$ ).

Нетрудно убедится, что на падающем участке ВАХ  $U_c < U_2 < 2\varepsilon_0/e$  формула (22) непригодна, ибо значение концентрации в квазинейтральной области, следующее из (14) и (22) при  $\varepsilon(p) = \varepsilon_2(p)$

$$n'(l') = n_0/2(1 - \varepsilon_0/eU_2), \quad (25)$$

превышает  $n_0$ , что противоречит принятой концепции квазинейтральной области, где может лишь выполняться  $n'(l') \leq n_0$ . В то же время на восходящих ветвях ВАХ, т.е. при  $U_2 < U_c$  и при  $U_2 > 2\varepsilon_0/e$ , такого противоречия нет, и можно верить в справедливость (22). Вопрос о существовании каких-либо иных стационарных решений в области  $U_c < U_2 < 2\varepsilon_0/e$ , а также вся проблема стационарных характеристик в области  $N$ -ОДП на рис. 3 в данной работе остается открытой.

## 2. Использование гетероструктур для получения законов дисперсии с ОЭМ

Возникает проблема реализации законов дисперсии  $\varepsilon(k)$ , приводящих к зависимостям типа кривых на рис. 1, б. Такие зависимости типичны для составных квантовых ям, набранных из слоев как с малой эффективной массой  $m$ , так и с большой эффективной массой  $M$ . Составляющие слои и разделительные потенциальные барьеры, если они имеются, должны быть подобраны таким образом, чтобы при малых значениях  $k$  двумерного волнового вектора в плоскости слоев электронная волновая функция, соответствующая наиболее низкому уровню энергии, находилась главным образом в слое (слоях) с малой массой, а с ростом  $k$  электроны передислоцировались бы в области с большой массой. Составные ямы с подобными свойствами рассматривались, в частности, в работе [5], где теоретически рассмотрены спектры структур типа «узкая яма в широкой яме». Как отмечалось выше, участки с ОЭМ нетрудно зафиксировать для еще более простой структуры: квантовая яма с малой массой в среде с большой массой [2]. Зависимость (19) является приближенным выражением закона дисперсии для двух туннельно-связанных квантовых ям с различными электронными массами в них. (Такие структуры рассматривались в работах [6, 7]). В случае одиночной ямы или одиночной пары связанных ям задача об ограничении тока пространственным зарядом сводится к решению двумерной пуассоновской проблемы, существенно более громоздкой сравнительно с одномерной задачей (7), (8) (см., например, [8, 9, 10]). Рассмотренная выше одномерная проблема может быть частично оправдана в случае системы параллельных квантовых ям или системы параллельных пар туннельно-связанных ям. Продольный транспорт горячих носителей заряда в подобных сверхрешетках туннельно-связанных пар

(т.е. двойных квантовых ям) наблюдался экспериментально в работах [11–13] (см. обзор [14]). Однако это были длинные структуры, и наблюдаемый в них транспорт отнюдь не был баллистическим. Одномерный подход формул (7), (8) может быть пригоден в случае, если период такой структуры  $W$  намного меньше их продольной длины  $l$  (рис. 2). Последняя не может быть большой ввиду требования баллистичности. Если для оценки принять  $l = 100$  нм, то  $W \leq 10$  нм, что приемлемо в случае использования гетероструктур со сравнительно большими разрывами зоны проводимости.

Для получения заметного эффекта  $N$ -ОДП необходимы большие отношения  $M/m$ , которые должны быть достигнуты без изменения долинной принадлежности электрона. Наиболее привлекательно использование для этих целей квазиаморфной структуры  $\text{InSb}/\text{CdTe}/\text{Hg}_x\text{Cd}_{1-x}\text{Te}$ , в которой отношение  $M/m$  может достигать  $0.1/0.015 \approx 6.7$ . Еще большие отношения  $M/m$  можно получить, используя псевдоморфные структуры, в которых в качестве партнеров  $\text{InSb}$  могут быть использованы вещества с еще большей эффективной массой электронов, чем в  $\text{CdTe}$ . При этом пригодны только те из них, у которых разрыв электронных зон партнеров не слишком велик и можно обеспечить приемлемо низкие энергии типа  $\varepsilon_0$  в формуле (19). Отметим, что в последние годы проявляется возрастающий интерес к гетеропаре  $\text{InSb}/\text{CdTe}$  (см., например [15, 16] и ссылки в этих работах), однако по нашим сведениям резкий гетеропереход еще достоверно не был получен и сколько-нибудь точные значения разрыва зоны проводимости никем не приведены.

При попытке использования в (8) законов дисперсии для электронов в гетероструктурных квантовых ямах и, в особенности, в туннельно-связанных двойных ямах возникает вопрос о законности квазиклассического подхода, критерии которого в этом случае заметно отличны от традиционных (см. [17]). Оценим на примере закона дисперсии (19) резонансную длину перехода электронов между туннельно-связанными ямами с различными массами  $M$  и  $m$  как

$$\delta\lambda = h/\delta p, \quad (26)$$

где  $\delta p$  — минимальное расщепление импульса электронов с заданной энергией  $\varepsilon$  при движении в двух наиболее низких состояниях двойной квантовой ямы:  $\delta p = p_2(\varepsilon) - p_1(\varepsilon)$  [причем в формуле (26) используется то значение  $\varepsilon$ , при котором разность  $\delta p$  минимальна]. Для  $\delta p$  имеем

$$\delta p \simeq p_c \frac{\delta}{eU_c} \left( \frac{M}{m} \right)^{1/2} \quad (27)$$

и для  $\delta\lambda$ :

$$\delta\lambda \simeq \lambda_c \frac{eU_c}{\delta} \left( \frac{m}{M} \right)^{1/2}, \quad (28)$$

где  $\lambda_c$  — длина волны электрона с импульсом  $p_c$ . В формулах (27) и (28) фигурирует неблагоприятное отношение  $eU_c/\delta$ , не позволяющее использовать очень малые значения  $\delta$  (при которых картины  $N$ -ОДП

на рис. 3 выглядят более впечатляюще). Следует использовать значения  $\delta$  на уровне  $10^{-1}-10^{-2}$  при максимально возможных отношениях  $M/m$ . Малые значения  $\delta$  означает малую проницаемость барьера между ямами с легкой и тяжелой массами. При этом электрон, вылетающий из катода в яме с легкой массой  $m$ , по достижении импульса  $p_c$  не успевает сменить яму и потяжелеть и продолжает путешествие при  $p > p_c$  все в той же яме с легкой массой, если при этом он ускоряется в достаточно сильном электрическом поле.

## Заключение

1. Показано, что короткие (баллистические)  $n^+-n-n^+$ -структуры с легированной базой имеют участки  $N$ -ОДП на ВАХ при реализации там специальных законов дисперсии электронов  $\epsilon(k)$ ; характерной особенностью этих законов  $\epsilon(k)$  является наличие интервала с ОЭМ. В дальнейшем предстоит получить более строгие соотношения между параметрами ОЭМ и ОДП.

2. Показано, что распределения с протяженными квазинейтральными областями в  $n$ -базе могут быть получены только для ветвей ВАХ с положительным наклоном и отсутствуют для нисходящих ветвей, т.е. статические участки  $N$ -ОДП не могут быть построены в выбранном классе решений. В дальнейшем предстоит узнать, существуют ли в общем случае статические ВАХ баллистических диодов с подобными законами  $\epsilon(p)$  для электронов.

3. Необходимые здесь законы  $\epsilon(p)$  могут быть получены для различных версий составных гетероструктур, сочетающих слои с малыми ( $m$ ) и большими ( $M$ ) массами. Практически интересны весьма большие ( $M/m \gg 2$ ) отношения масс. В связи с этим возникает дополнительный интерес к таким квазизоморфным структурам как InSh/CdTe, а также к псевдоморфным структурам, сочетающим узкощелевые полупроводники и материалы с большой массой ( $M$ ) электронов (например, ZnS). Дополнительное ограничение на гетероструктуры накладывает требование относительно малого энергетического разрыва в электронной зоне.

4. При использовании продольного транспорта в гетероструктурах не является всегда законным использование квазиклассических формул простой теории баллистических диодов. Использование строгих критериев квазиклассичности, а также переход к более последовательному квантовому рассмотрению, однако, возможны только с решением проблемы ВАХ для участков  $N$ -ОДП. С практической точки зрения актуально также развитие неодномерных теорий для одиночных квантовых ям или для структур с малым числом ям.

Автор благодарен А.Н.Коршаку и Н.Э.Вагидову за помощь и обсуждение. Благодарю Фонд фундаментальных исследований ГКНТ Украины за частичное финансирование исследований по теме настоящей работы.

## Список литературы

- [1] M.V. Muller. IEEE Trans. Electron. Dev., ED-28, 604 (1981).
- [2] М. Шур. Современные приборы на основе арсенида галлия. М.: Мир (1991).
- [3] З.С. Грибников, О.Э. Райчев. ЖЭТФ, 96, 996 (1989).

- [4] В.И. Рыжий, Н.А. Баннов, В.А. Федирко. ФТП, **18**, 769 (1984).
- [5] V. Milanović, Z. Ikonić, D. Tjapkin. Semicond. Sci. Techn., **3**, 675 (1988).
- [6] R.Q. Yang, J.M. Xu. Phys. Rev. B, **43**, 1699 (1991).
- [7] R.Q. Yang, J.M. Xu. Appl. Phys. Lett., **59**, 315 (1991).
- [8] J.A. Geurst. Phys. St. Sol. (b), **15**, 107 (1966).
- [9] A.A. Grinberg, S. Lyryi, M.R. Pinto, N.L. Schryer. IEEE Trans. Electron. Dev., **36**, 1162 (1989).
- [10] S. Lyryi. In: High-Speed Semiconductor Devices (ed. by S.M. Sze), 57. John Wiley & Sons. N.Y. (1990).
- [11] S. Kirchoefer, R. Magno, J. Comas. Appl. Phys. Lett., **44**, 1054 (1984).
- [12] J.M. Pond, S. Kirchoefer, E.J. Chukauskas. Appl. Phys. Lett., **47**, 1175 (1985).
- [13] N. Sawaki, M. Suzuki, E. Okuno, H. Goto, I. Akasaki, H. Kano, Y. Tanaka. Sol. St. Electron, **31**, 351 (1988).
- [14] Z.S. Gribnikov, K. Hess, G.A. Kosinovsky. J. Appl. Phys. (в печати).
- [15] R.C. van Walzenis, F.M. van Setten, O.F.Z. Schannen. Appl. Phys. A, **52**, 19 (1991).
- [16] Y.-D. Zheng, Y.H. Chang, B.D. McCombe, R.F.C. Farrow, T. Temofonte, F.A. Shirland. Appl. Phys. Lett., **49**, 1187 (1986).
- [17] З.С. Грибников. ЖЭТФ, **103**, 1329 (1993).

Редактор Т.А. Полянская

---